

# Динамическая сила Казимира–Полдера при релятивистском движении атома вблизи поверхности толстой пластины

© Г.В. Дедков, А.А. Кясов

Кабардино-Балкарский государственный университет,  
Нальчик, Россия

E-mail: gv\_dedkov@mail.ru

(Поступила в Редакцию 4 октября 2011 г.)

Рассчитывается динамическая сила Казимира–Полдера между нейтральным атомом (в основном состоянии) и толстой пластиной при релятивистском движении атома параллельно поверхности. Материальные свойства учитываются в рамках осцилляторной модели атома и диэлектрической функции Друде для пластины. Рассмотрены предельные случаи нерелятивистской скорости и идеально проводящего материала пластины. Обнаружена сложная зависимость силы от скорости (энергии), расстояния и материальных свойств поверхности.

## 1. Введение

Силой Казимира–Полдера обычно называют силу статического взаимодействия немагнитного атома, находящегося в основном состоянии, с поверхностью толстой металлической пластины (полупространства, ограниченного плоской поверхностью) на расстояниях  $z_0$ , удовлетворяющих условию сильного запаздывания флуктуационно-электромагнитного взаимодействия  $\lambda_0 = \omega_0 z_0 / c \gg 1$ , где  $\omega_0$  — характерная частота в спектре поглощения атома. Предполагается также, что система имеет нулевую температуру. В этом случае сила взаимодействия не зависит от материальных свойств пластины и оказывается равной  $F_z = -\frac{3}{2\pi} \frac{\hbar \alpha(0)c}{z_0^3}$  [1], где  $\alpha(0)$  статическая поляризуемость атома, а отрицательный знак свидетельствует о притяжении атома к поверхности. В работе Казимира и Полдера [1] показано, что сила  $F_z$  обусловлена нулевыми флуктуациями электромагнитного поля. В другом предельном случае —  $\lambda_0 = \omega_0 z_0 / c \ll 1$  (в отсутствие запаздывания) — сила взаимодействия определяется выражением  $F_z = -\frac{3\hbar \alpha(0)\tilde{\omega}_0}{8z_0^4}$ , где  $\tilde{\omega}_0 = \omega_0$  для идеально проводящей пластины. Зависимость  $F_z \propto z_0^{-4}$  характеризует силу Ван-дер-Ваальса. При учете материальных свойств пластины общее выражение для силы Казимира–Полдера–Ван-дер-Ваальса обычно получают из формулы Лифшица [2] для флуктуационно-электромагнитного взаимодействия двух плоскопараллельных пластин, разделенных вакуумной щелью. Для этого делается предельный переход к разреженной среде для вещества одной из пластин [3]. В недавних обзорных работах [4–6] рассмотрены последние достижения теории и эксперимента в области сил Казимира для различной геометрии взаимодействующих тел.

Несмотря на фундаментальный характер проблемы, до последнего времени практически все расчеты сил Казимира–Полдера проводились в статическом приближении, когда атом покоится. Первый расчет дина-

мической силы Ван-дер-Ваальса при движении атома параллельно поверхности был сделан в работе [7] в предположении  $V \ll c$  (где  $V$  — скорость атома), а при релятивистской скорости атома — в работе [8]. В обеих работах переход от статики к динамике осуществлялся введением доплеровского частотного сдвига в выражение для поляризуемости движущейся частицы, что в общем случае некорректно [9,10]. Целью настоящей работы является последовательный релятивистский расчет динамической силы Казимира–Полдера, базирующийся на общей теории флуктуационно-электромагнитного взаимодействия при движении малой частицы вблизи поверхности, учитывающей материальные свойства [11]. Таким образом, результаты данной работы являются естественным обобщением наших недавних расчетов нерелятивистской динамической силы Ван-дер-Ваальса [10].

## 2. Общие теоретические соотношения

Рассмотрим случай адиабатического движения малой нейтральной частицы (атома) с постоянной скоростью  $V$  в вакууме параллельно поверхности пластины (рис. 1). Частица характеризуется дипольной электрической  $\alpha_e(\omega)$  и (или) магнитной  $\alpha_m(\omega)$  поляризуемостями,

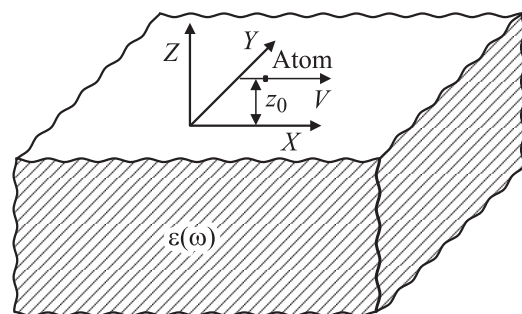


Рис. 1. Схема взаимодействия атома с поверхностью.

зависящими от частоты  $\omega$ , а пластина — диэлектрической  $\varepsilon(\omega)$  и магнитной  $\mu(\omega)$  проницаемостями. Температура частицы принимается равной  $T_1$ , а температура пластины и окружающего вакуумного фона —  $T_2$ . Система в целом предполагается стационарной, хотя глобальное тепловое равновесие отсутствует. Исходным выражением для силы флуктуационно-электромагнитного взаимодействия частицы с пластиной является

$$\mathbf{F} = \left\langle \int \left( \rho \mathbf{E} + \frac{1}{c} \mathbf{j} \times \mathbf{B} \right) d^3r \right\rangle, \quad (1)$$

где  $\rho$  и  $\mathbf{j}$  — локальные плотность заряда и электрического тока в объеме частицы;  $\mathbf{E}$ ,  $\mathbf{B}$  — векторы флуктуационного электромагнитного поля, удовлетворяющие уравнениям Максвелла и необходимым граничным условиям на поверхности пластины; угловые скобки означают полное квантово-статистическое усреднение. В рассматриваемом далее дипольном приближении формула (1) приводится к виду [11]

$$F_z = \langle \nabla_z (\mathbf{d}^{\text{sp}} \mathbf{E}^{\text{ind}} + \mathbf{d}^{\text{ind}} \mathbf{E}^{\text{sp}} + \mathbf{m}^{\text{sp}} \mathbf{B}^{\text{ind}} + \mathbf{m}^{\text{ind}} \mathbf{B}^{\text{sp}}) \rangle, \quad (2)$$

где индексы sp и ind обозначают спонтанные и индуцированные компоненты поля и дипольных моментов частицы. Дальнейшие преобразования (2) делаются без каких-либо дополнительных упрощений и приводят к выражению [11]

$$F_z = -\frac{\hbar\gamma}{2\pi^2} \int_0^\infty d\omega \int_{-\infty}^{+\infty} dk_x \int_{-\infty}^{+\infty} dk_y \left\{ \alpha_e''(\gamma\omega^+) \text{Re} \times [\exp(-2q_0z) R_e(\omega, \mathbf{k})] \coth \left( \frac{\gamma\hbar\omega^+}{2k_B T_1} \right) + \alpha_e'(\gamma\omega^+) \times \text{Im} [\exp(-2q_0z) R_e(\omega, \mathbf{k})] \coth \left( \frac{\hbar\omega}{2k_B T_2} \right) + (e \leftrightarrow m) \right\}, \quad (3)$$

$$R_e(\omega, \mathbf{k}) = \Delta_e(\omega) \left[ 2(k^2 - k_x^2\beta^2)(1 - \omega^2/k^2c^2) + (\omega^+)^2/c^2 \right] + \Delta_m(\omega) [2k_y^2\beta^2(1 - \omega^2/k^2c^2) + (\omega^+)^2/c^2], \quad (4)$$

$$R_m(\omega, \mathbf{k}) = \Delta_m(\omega) \left[ 2(k^2 - k_x^2\beta^2)(1 - \omega^2/k^2c^2) + (\omega^+)^2/c^2 \right] + \Delta_e(\omega) [2k_y^2\beta^2(1 - \omega^2/k^2c^2) + (\omega^+)^2/c^2], \quad (5)$$

$$\Delta_e(\omega) = \frac{q_0\varepsilon(\omega) - q}{q_0\varepsilon(\omega) + q}, \quad \Delta_m(\omega) = \frac{q_0\mu(\omega) - q}{q_0\mu(\omega) + q},$$

$$q = (k^2 - (\omega^2/c^2)\varepsilon(\omega)\mu(\omega))^{1/2},$$

$$q_0 = (k^2 - \omega^2/c^2)^{1/2}, \quad k^2 = k_x^2 + k_y^2, \quad \omega^+ = \omega + k_x V; \quad (6)$$

где слагаемое  $(e \leftrightarrow m)$  в фигурных скобках (3) получается путем соответствующей замены индексов в первых двух слагаемых. Учет его соответствует на-

личию магнитной поляризуемости у частицы. Далее нас будет интересовать случай немагнитной частицы и поверхности, поэтому  $\alpha_m(\omega) = 0$ ,  $\mu(\omega) = 1$ , а индекс  $e$  у поляризуемости частицы опускается. Кроме того, будем рассматривать случай  $T_1 = T_2 = 0$ . Действуя аналогично [10] и используя предельный переход, выражаемый соотношениями

$$\lim_{T_1 \rightarrow 0} \coth \frac{\hbar(\omega + k_x V)}{2kT_1} = \text{sign}(\omega + k_x V),$$

$$\lim_{T_2 \rightarrow 0} \coth \frac{\hbar\omega}{2kT_2} = \text{sign}\omega,$$

перепишем (3) в виде суммы двух слагаемых, из которых первое представляется в виде интеграла по мнимым частотам, а второе — в виде интеграла по действительным частотам:

$$F_z = F_z^{(0)} + F_z^{(1)}, \quad (7)$$

$$F_z^{(0)} = -\frac{\hbar\gamma}{2\pi^2} \int_{-\infty}^{+\infty} dk_x \int_{-\infty}^{+\infty} dk_y \times \text{Im} \left\{ \int_0^\infty d\xi \exp \left( -2\sqrt{k^2 + \xi^2/c^2} z_0 \right) \alpha(\gamma(i\xi + k_x V)) \times \left[ iR_e^{(1)}(i\xi, k) - 2\beta k_x \frac{\xi}{c} (\Delta_e(i\xi) + \Delta_m(i\xi)) \right] \right\}, \quad (8)$$

$$F_z^{(1)} = \frac{2\hbar\gamma}{\pi^2} \int_0^\infty dk_x \int_0^\infty dk_y \int_0^{k_x V} d\omega \alpha''(\gamma(\omega - k_x V)) \times \text{Re} \left\{ \exp \left( -2\sqrt{k^2 - \omega^2/c^2} z_0 \right) \times \left[ R_e^{(1)}(\omega, k) - 2\beta k_x \frac{\omega}{c} (\Delta_e(\omega) + \Delta_m(\omega)) \right] \right\}, \quad (9)$$

$$R_e^{(1)}(i\xi, k) = \Delta_e(i\xi) (2k^2 + \xi^2/c^2) + \Delta_m(i\xi) [2\beta^2(k^2 + \xi^2/c^2) - \xi^2/c^2] - \beta^2 [\Delta_e(i\xi) + \Delta_m(i\xi)] (k^2 + 2\xi^2/c^2) \cos^2 \theta, \quad (10)$$

$$R_e^{(1)}(\omega, k) = (\omega^2/c^2 + k^2\beta^2 \cos^2 \theta) \times [\Delta_e(\omega) + \Delta_m(\omega)] + 2(k^2 - \omega^2/c^2) \times \left[ (1 - \beta^2 \cos^2 \theta) \Delta_e(\omega) + \Delta_m(\omega) \beta^2 \sin^2 \theta \right], \quad (11)$$

где  $\cos \theta = k_x/k$ ,  $\beta = V/c$ ,  $\gamma = (1 - \beta^2)^{-1/2}$ .

Чтобы продвинуться дальше, используем осцилляторную модель атомной поляризуемости

$$\alpha(\gamma\omega) = \frac{\alpha(0)\tilde{\omega}_0^2}{\tilde{\omega}_0^2 - \omega^2 - i0\omega}, \quad \tilde{\omega}_0 = \omega_0/\gamma, \quad (12)$$

$$\alpha''(\gamma\omega) = \frac{\pi\alpha(0)\tilde{\omega}_0}{2} [\delta(\omega - \tilde{\omega}_0) - \delta(\omega + \tilde{\omega}_0)], \quad (13)$$

где  $\omega_0$  — частота атомного перехода. Подставляя (12), (13) в (8), (9), получим

$$F_z^0 = -\frac{1}{2\pi^2} \hbar\alpha(0)\tilde{\omega}_0^2\gamma \int_{-\infty}^{+\infty} dk_x \int_{-\infty}^{+\infty} dk_y \int_0^{\infty} d\xi \exp\left(-2\sqrt{k^2 + \xi^2/c^2z_0}\right) \times \frac{1}{[(\tilde{\omega}_0^+)^2 + \xi^2][( \tilde{\omega}_0^-)^2 + \xi^2]} \left[ R_e^{(1)}(i\xi, k)(\tilde{\omega}_0^+ \tilde{\omega}_0^- + \xi^2) - 4\beta^2 k_x^2 \xi^2 (\Delta_e(i\xi) + \Delta_m(i\xi)) \right], \quad (14)$$

$$F_z^{(1)} = -\frac{1}{\pi} \hbar\alpha(0)\omega_0 \int_{\tilde{\omega}_0/V}^{\infty} dk_x \int_0^{\infty} dk_y \times \text{Re} \left\{ \exp\left(-2\sqrt{k^2 - (\tilde{\omega}_0^-)^2/c^2z_0}\right) \left[ R_e^{(1)}(-\tilde{\omega}_0^-, k) + 2k_x\beta(\tilde{\omega}_0^-/c) (\Delta_e(-\tilde{\omega}_0^-) + \Delta_m(-\tilde{\omega}_0^-)) \right] \right\}, \quad (15)$$

где  $\tilde{\omega}_0^\pm = \tilde{\omega}_0 \pm k_x V = \tilde{\omega}_0 \pm kV \cos \theta$ . Используя формулы (14), (15), рассмотрим несколько практически важных случаев.

2.1. Нерелятивистское движение атома при отсутствии запаздывания. В пределе  $c \rightarrow \infty$  сумма выражений (14), (15) приводится к виду

$$F_z = -\frac{\hbar}{\pi^2} \int_{-\infty}^{+\infty} dk_x \int_{-\infty}^{+\infty} dk_y k^2 \exp(-2kz_0) \times \text{Im} \left[ i \int_0^{\infty} d\xi \Delta(i\xi) \alpha(i\xi + k_x V) \right] + \frac{4\hbar}{\pi^2} \int_0^{\infty} dk_x \times \int_0^{\infty} dk_y k^2 \exp(-2kz_0) \int_0^{k_x V} d\omega \Delta'(\omega) \alpha''(\omega - k_x V), \quad (16)$$

где  $\Delta(\omega) = (\varepsilon(\omega) - 1)/(\varepsilon(\omega) + 1)$ . Учитывая соотношение  $F_z = -\partial U/\partial z$ , в котором  $U(z)$  представляет энергию ван-дер-ваальсова взаимодействия движущегося атома с пластиной, нетрудно убедиться, что формула (16) полностью согласуется с нерелятивистским выражением для  $U(z)$  [10].

Переходя в (16) к безразмерным переменным  $x = 2z_0 k_x$ ,  $y = 2z_0 k_y$ ,  $p = \xi/\omega_0$  и интегрируя по  $y$ , получим

$$F_z = \frac{\hbar\alpha(0)\omega_0}{4\pi^2 z_0^4} \int_0^{\infty} dx x^3 \frac{d^3 K_0(x)}{dx^3} \int_0^{\infty} dp \left[ \frac{\varepsilon(ip\omega_0) - 1}{\varepsilon(ip\omega_0) + 1} \right] \times \frac{(1 + p^2 - q^2 x^2)}{(1 + p^2 - q^2 x^2)^2 + 4p^2 q^2 x^2} + \frac{\hbar\alpha(0)\omega_0}{8\pi z_0^4} \int_{1/q}^{\infty} dx x^3 \times \frac{d^3 K_0(x)}{dx^3} \text{Re} \left[ \frac{\varepsilon(\omega_0(qx - 1)) - 1}{\varepsilon(\omega_0(qx - 1)) + 1} \right], \quad q = V/2\omega_0 z_0, \quad (17)$$

где  $K_0(x)$  — функция Макдональда. Отметим полезное для дальнейшего рассмотрения соотношение

$$-d^3 K_0(x)/dx^3 = (1 + 2/x^2)K_1(x) + K_0(x)/x. \quad (18)$$

Весьма компактное выражение для силы  $F_z$  получается в случае плазменной модели диэлектрической проницаемости пластины  $\varepsilon(\omega) = 1 - \omega_p^2/\omega^2$  ( $\omega_p$  — плазменная частота). Тогда внутренний интеграл в первом слагаемом вычисляется точно (см. [10]), а формула (17) приводится к виду

$$F_z = \frac{\hbar\omega_s\alpha(0)}{8\pi z_0^4} \int_0^{\infty} x^3 \frac{d^3 K_0(x)}{dx^3} \times \left[ \frac{(1 + \eta)\theta(1 - qx)}{(1 + \eta)^2 - q^2 x^2} + \frac{\theta(qx - 1)}{[1 - (\eta + qx)^2]} \right] dx + \frac{\hbar\omega_0\alpha(0)}{8\pi z_0^4} \eta^2 \int_{1/q}^{\infty} \frac{d^3 K_0(x)}{dx^3} \frac{x^3}{\eta^2 - (1 - qx)^2} dx, \quad \eta = \omega_s/\omega_0, \quad \omega_s = \omega_p/\sqrt{2}. \quad (19)$$

Случай конечной величины параметра  $\eta$  детально рассмотрен в [10]. Для идеально проводящей металлической пластины  $\eta \rightarrow \infty$ , тогда (19) принимает вид

$$F_z = -\frac{3\hbar\omega_0\alpha(0)}{8z_0^4} - \frac{\hbar\omega_0\alpha(0)}{8\pi z_0^4} \int_{1/q}^{\infty} dx x^3 \left( -\frac{d^3 K_0(x)}{dx^3} \right).$$

При  $q \gg 1$ , т.е. когда  $z_0 \ll V/2\omega_0$  (что соответствует малым расстояниям, поскольку  $V \ll c$ ), интеграл в (20) равен  $3\pi$  и результирующая величина  $F_z$  получается вдвое больше первого слагаемого (20)

$$F_z \cong -\frac{3\hbar\omega_0\alpha(0)}{4z_0^4}, \quad z_0 \ll V/2\omega_0. \quad (21)$$

В противоположном случае (при  $q \ll 1$ ), используя асимптотику

$$K_0(x) \cong \sqrt{\pi/2x} \exp(-x), \quad (22)$$

из (20) находим

$$F_z \cong - \frac{3\hbar\omega_0\alpha(0)}{8z_0^4} - \frac{3\hbar\omega_0\alpha(0)}{2\sqrt{\pi}z_0^4} \left(\frac{\omega_0 z_0}{V}\right)^{5/2} \times \exp(-2\omega_0 z_0/V), \quad z_0 \gg V/2\omega_0. \quad (23)$$

Именно второе слагаемое в (23) отвечает за немонотонную зависимость динамической силы Ван-дер-Ваальса от расстояния.

2.2. Идеально проводящая металлическая пластина. В случае идеально проводящей пластины, когда  $\varepsilon(\omega) \rightarrow \infty$ , из (6) следует  $\Delta_e(\omega) = 1$ ,  $\Delta_m(\omega) = -1$  и формулы (14), (15) приводятся к виду

$$F_z^{(0)} = -\frac{\hbar}{\pi^2\gamma} \int_{-\infty}^{+\infty} dk_x \int_{-\infty}^{+\infty} dk_y \int_0^{\infty} d\xi (k^2 + \xi^2/c^2) \times \exp(-2\sqrt{k^2 + \xi^2/c^2}z_0) \text{Im}[i\alpha(\gamma(i\xi + k_x V))], \quad (24)$$

$$F_z^{(1)} = \frac{4\hbar}{\pi^2\gamma} \int_0^{\infty} dk_x \int_0^{\infty} dk_y \int_0^{\infty} d\omega \alpha''(\gamma(\omega - k_x V)) \times \text{Re}[(k^2 - \omega^2/c^2) \exp(-2\sqrt{k^2 - \omega^2/c^2}z_0)]. \quad (25)$$

Подставляя (12), (13) в (24), (25) и используя обозначения  $\lambda = 2\tilde{\omega}_0 z_0/c = 2\omega_0 z_0/\gamma c \equiv \lambda_0/\gamma$ , получим

$$F_z^{(0)} = \frac{4\hbar\alpha(0)\omega_0^5}{\pi^2 c^4 \gamma^6} \int_0^{\infty} dx \int_0^{\infty} dy \times \frac{(1 - \beta^2 x^2 + y^2)(x^2 + y^2)^{3/2}}{[(1 + \beta x)^2 + y^2][(1 - \beta x)^2 + y^2]} \left[\frac{d^3 K_0(t)}{dt^3}\right]_{t=\lambda\sqrt{x^2+y^2}}, \quad (26)$$

$$F_z^{(1)} = \frac{\hbar\omega_0\alpha(0)}{8\pi z_0^4 \gamma} \int_{\lambda/\beta}^{\infty} \frac{dx x^4}{\sqrt{\lambda_0^2 + x^2}} \frac{d^3 K_0(x)}{dx^3}. \quad (27)$$

Формула (26) дополнительно упрощается в предельных случаях  $\beta \rightarrow 0$  и  $\beta \rightarrow 1$ , если перейти к полярным координатам  $x = r \cos \theta$ ,  $y = r \sin \theta$ . Разлагая зависящую от  $x$ ,  $y$  часть подынтегральной функции (26) в ряд по малым параметрам  $\beta$  и  $(1 - \beta) \approx 1/2\gamma^2$ , имеем

$$A(x, y) = A(r, \theta) \equiv \frac{1 - \beta^2 x^2 + y^2}{[(1 + \beta x)^2 + y^2][(1 - \beta x)^2 + y^2]} = \frac{1 - \beta^2 r^2 \cos^2 \theta + r^2 \sin^2 \theta}{\left[(1 + \beta r \cos \vartheta)^2 + r^2 \sin^2 \theta\right]^2 \left[(1 - \beta r \cos \vartheta)^2 + r^2 \sin^2 \theta\right]^2} = \begin{cases} \frac{1}{1+r^2 \sin^2 \theta} - \frac{r^2 \cos^2 \theta (3r^2 - \sin^2 \theta - 1)}{(1+r^2 \sin^2 \theta)^3} \beta^2, & \beta \ll 1, \\ \frac{1 - r^2 \cos 2\theta}{(1+r^2)^2 - 4r^2 \cos^2 \theta} - \frac{1}{\gamma^2} \times \frac{r^2 \cos^2 \theta (1 - 2r^2 - r^4 + 2r^4 \cos 2\theta)}{((1+r^2)^2 - 4r^2 \cos^2 \theta)^2}, & \gamma \gg 1. \end{cases} \quad (28)$$

Подставляя (28) в (26) и учитывая угловые интегралы  $\theta(x)$  — единичная функция Хевисайда),

$$\int_0^{\pi/2} A(r, \theta) d\theta = \begin{cases} \frac{\pi}{2\sqrt{1+r^2}} + \frac{\pi r^2}{4(1+r^2)^{3/2}} \beta^2, & \beta \ll 1 (\gamma \rightarrow 1), \\ \frac{\pi}{2} \theta(1-r)(1-r^2/2\gamma^2), & \gamma \gg 1 (\beta \rightarrow 1), \end{cases} \quad (29)$$

преобразуем (26) к виду

$$F_z^{(0)} \cong \begin{cases} \frac{\hbar\omega_0\alpha(0)}{8\pi z_0^4} \int_0^{\infty} dx \frac{x^4}{\sqrt{\lambda^2 + x^2}} \frac{d^3 K_0(x)}{dx^3} \times \left[1 - \frac{(x^2 + 2\lambda^2)\beta^2}{2(\lambda^2 + x^2)}\right], & \beta \ll 1, \\ \frac{\hbar c\alpha(0)}{16\pi z_0^5 \gamma} \int_0^{\lambda} dx x^4 \frac{d^3 K_0(x)}{dx^3} (1 - x^2/2\lambda_0^2), & \gamma \gg 1. \end{cases} \quad (30)$$

Из (27), (30) нетрудно получить асимптотические выражения для  $F_z$  при различных соотношениях между параметрами  $\lambda_0$ ,  $\beta$  и  $\gamma$ . Соответствующие асимптотики, нормированные на величину  $\hbar\omega_0\alpha(0)/z_0^4$ , приведены в таблице.

Можно констатировать полное согласие между формулой (21) и формулами 1, 5 таблицы при  $\beta \ll 1$ ,  $\lambda_0 \ll 1$ , за исключением релятивистской поправки  $\sim \beta^2$ . В случае больших расстояний  $z_0 \gg V/2\omega_0$ , что эквивалентно условиям  $\lambda_0 \gg 1$ ,  $\beta \ll 1$ ; первый член (23), соответствующий  $F_z^{(0)}$ , отличается от асимптотической величины, приведенной в таблице (формула 2), описывающей динамическую силу Казимира–Полдера с учетом динамической поправки

$$F_z^{(0)} = -\frac{3}{2\pi} \frac{\hbar c\alpha(0)}{z_0^5} (1 - \beta^2/2), \quad z_0 \gg V/2\omega_0. \quad (31)$$

Это неудивительно, поскольку в рассматриваемом диапазоне расстояний становятся существенными эффекты запаздывания, не учитываемые формулой (23). Динамическая поправка в (31) носит характер силы отталкивания.

Нерелятивистское выражение для  $F_z^{(1)}$ , соответствующее второму члену в (23), идентично формуле 6 таблицы (также за исключением опущенной там поправки порядка  $\beta^2$ ). На рис. 2а и б проводится сравнение нормированных значений сил, вычисленных интегрированием формул (27), (30), с асимптотическими формулами для  $\beta \ll 1$  и  $\gamma \gg 1$ , приведенными в таблице.

2.3. Приближение Друде для материала пластины: общий случай. Представляет интерес рассмотрение вопроса о влиянии материальных свойств пластины на динамическую силу Казимира–Полдера. Будем считать, что диэлектрическая проницаемость материала пластины описывается моделью Друде с параметрами, соответствующими золоту ( $\omega_p = 1.37 \cdot 10^{16}$  rad/s,

Асимптотические выражения для динамической силы Казимира–Полдера

№ п/п	Значения параметров	$F_z^{(0)}$	№ п/п	Значения параметров	$F_z^{(1)}$
1	$\lambda_0 \ll 1, \beta \ll 1$	$-\frac{3}{8} \left(1 - \frac{\beta^2}{2}\right)$	5	$\lambda_0 \ll \beta \ll 1$	$-\frac{3}{8} \left(1 - \frac{\beta^2}{2}\right)$
2	$\lambda_0 \gg 1, \beta \ll 1$	$-\frac{3}{\pi\lambda_0} \left(1 - \frac{\beta^2}{2}\right)$	6	$\beta \ll \lambda_0 \ll 1$	$-\frac{1}{8\sqrt{2\pi}} \frac{\lambda_0^{5/2}}{\beta^{3/2}} \exp(-\lambda_0/\beta)$
3	$\lambda_0 \gg \gamma \gg 1$	$-\frac{3}{\pi} \frac{1}{\lambda_0\gamma} \left(1 - \frac{10}{\lambda_0^2}\right)$	7	$\lambda_0 \gg 1 \gg \beta$	$-\frac{1}{8\sqrt{\pi}} \frac{\lambda_0^{5/2}}{\beta^{7/2}} \exp(-\lambda_0/\beta)$
4	$\lambda_0 \ll \gamma, \gamma \gg 1$	$-\frac{\lambda_0}{8\pi\gamma^3}$	8	$\lambda_0 \ll 1 \ll \gamma$	$-\frac{3}{8\gamma}$
			9	$\lambda_0 \gg \gamma \gg 1$	$-\frac{1}{8\sqrt{2\pi}} \frac{\lambda_0^{5/2}}{\gamma^{9/2}\beta^{7/2}} \exp(-\lambda_0/\gamma\beta)$
			10	$1 \ll \lambda_0 \ll \gamma$	$-\frac{3}{\pi\lambda_0\gamma}$

$\tau = 1.89 \cdot 10^{-14}$  s):

$$\varepsilon(\omega) = 1 - \frac{\omega_p^2}{\omega(\omega + i/\tau)}. \tag{32}$$

Формулу (14) можно привести к более простому двойному интегралу, используя полярные координаты  $(k, \theta)$  вместо  $(k_x, k_y)$ , и проводя интегрирование по  $\theta$ . Это делается с использованием тождественных выражений ( $a \equiv kV \cos \theta$ )

$$\frac{\tilde{\omega}_0^2 + \xi^2 - a^2}{[(\tilde{\omega}_0 + a)^2 + \xi^2][(\tilde{\omega}_0 - a)^2 + \xi^2]} \equiv \frac{1}{4\tilde{\omega}_0} \left[ \frac{1}{\tilde{\omega}_0 + i\xi - a} + \frac{1}{\tilde{\omega}_0 - i\xi - a} + \frac{1}{\tilde{\omega}_0 + i\xi + a} + \frac{1}{\tilde{\omega}_0 - i\xi + a} \right], \tag{33}$$

$$\frac{1}{[(\tilde{\omega}_0 + a)^2 + \xi^2][(\tilde{\omega}_0 - a)^2 + \xi^2]} \equiv -\frac{i}{8\xi\tilde{\omega}_0} \left[ \frac{1}{(\tilde{\omega}_0 - i\xi)} \left[ \frac{1}{\tilde{\omega}_0 - i\xi + a} + \frac{1}{\tilde{\omega}_0 - i\xi - a} \right] - \frac{1}{(\tilde{\omega}_0 + i\xi)} \left[ \frac{1}{\tilde{\omega}_0 + i\xi + a} + \frac{1}{\tilde{\omega}_0 + i\xi - a} \right] \right]. \tag{34}$$

Учитывая (33), (34) и переходя к новым переменным интегрирования  $x = \omega/\tilde{\omega}_0, k^2c^2/\omega^2 = u^2 + 1$ , формулу (14) приводим к более удобному виду

$$F_z^{(0)} = -\frac{\hbar\omega_0\alpha(0)}{64\pi^2z_0^4} \frac{1}{\lambda} \int_1^\infty \frac{du}{u^4} \int_0^\infty dt t^4 \phi(t/\lambda u, u, \beta) \exp(-t), \tag{35}$$

$$\phi(x, u, \beta) = \sum_{n=1}^3 A_n(x, u, \beta) Q_n(x, u, \beta), \tag{36}$$

$$A_1(x, u, \beta) = \Delta_e(u, x) [(2 - \beta^2)(u^2 - 1) + (1 - 2\beta^2)] + \Delta_m(u, x) [\beta^2(u^2 - 1) - 1], \tag{37}$$

$$A_2(x, u, \beta) = (u^2 + 1)[\Delta_e(u, x) + \Delta_m(u, x)], \tag{38}$$

$$A_3(x, u, \beta) = 2i\beta^2x(u^2 - 1)[\Delta_e(u, x) + \Delta_m(u, x)], \tag{39}$$

$$Q_1(x, u, \beta) = f_0(1 + ix, \beta x \sqrt{u^2 - 1}) + f_0(1 - ix, \beta x \sqrt{u^2 - 1}) + f_0(1 + ix, -\beta x \sqrt{u^2 - 1}) + f_0(1 - ix, -\beta x \sqrt{u^2 - 1}), \tag{40}$$

$$Q_2(x, u, \beta) = f_2(1 + ix, \beta x \sqrt{u^2 - 1}) + f_2(1 - ix, \beta x \sqrt{u^2 - 1}) + f_2(1 + ix, -\beta x \sqrt{u^2 - 1}) + f_2(1 - ix, -\beta x \sqrt{u^2 - 1}), \tag{41}$$

$$Q_3(x, u, \beta) = \frac{1}{(1 - ix)} [f_0(1 - ix, \beta x \sqrt{u^2 - 1}) - f_2(1 - ix, \beta x \sqrt{u^2 - 1}) + f_0(1 - ix, -\beta x \sqrt{u^2 - 1}) - f_2(1 - ix, -\beta x \sqrt{u^2 - 1})] - \frac{1}{(1 + ix)} \times [f_0(1 + ix, \beta x \sqrt{u^2 - 1}) - f_2(1 + ix, \beta x \sqrt{u^2 - 1}) + f_0(1 + ix, -\beta x \sqrt{u^2 - 1}) - f_2(1 + ix, -\beta x \sqrt{u^2 - 1})], \tag{42}$$

где  $\lambda = 2\tilde{\omega}_0 z_0/c = 2\omega_0 z_0/\gamma c = \lambda_0/\gamma$ , а вспомогательные функции  $f_{0,2}(x, y)$  определены соотношениями

$$f_0(x, y) = \int_0^\pi \frac{dz}{x + y \cos z} = \frac{\pi}{\sqrt{x^2 - y^2}} \times \chi \left[ (x - y) \left( \operatorname{Re}\sqrt{x^2 - y^2} - i\operatorname{Im}\sqrt{x^2 - y^2} \right) \right], \quad (43)$$

$$f_2(x, y) = \int_0^\pi \frac{\sin^2 z dz}{x + y \cos z} = \frac{\pi x}{y^2} \left( 1 - \sqrt{1 - y^2/x^2} \right), \quad (44)$$

$$\chi(x) = \begin{cases} 1, & \operatorname{Re}(x) > 0, \\ 1, & \operatorname{Re}(x) = 0, \operatorname{Im}(x) > 0, \\ -1, & \operatorname{Re}(x) < 0, \\ -1, & \operatorname{Re}(x) = 0, \operatorname{Im}(x) < 0. \end{cases} \quad (45)$$

В формулах (36)–(39) в соответствии с используемыми обозначениями коэффициенты отражения  $\Delta_{e,m}(\omega)$  (см.(4)) имеют вид

$$\Delta_e(u, x) = \frac{u\varepsilon(ix) - \sqrt{u^2 + \varepsilon(ix) - 1}}{u\varepsilon(ix) + \sqrt{u^2 + \varepsilon(ix) - 1}},$$

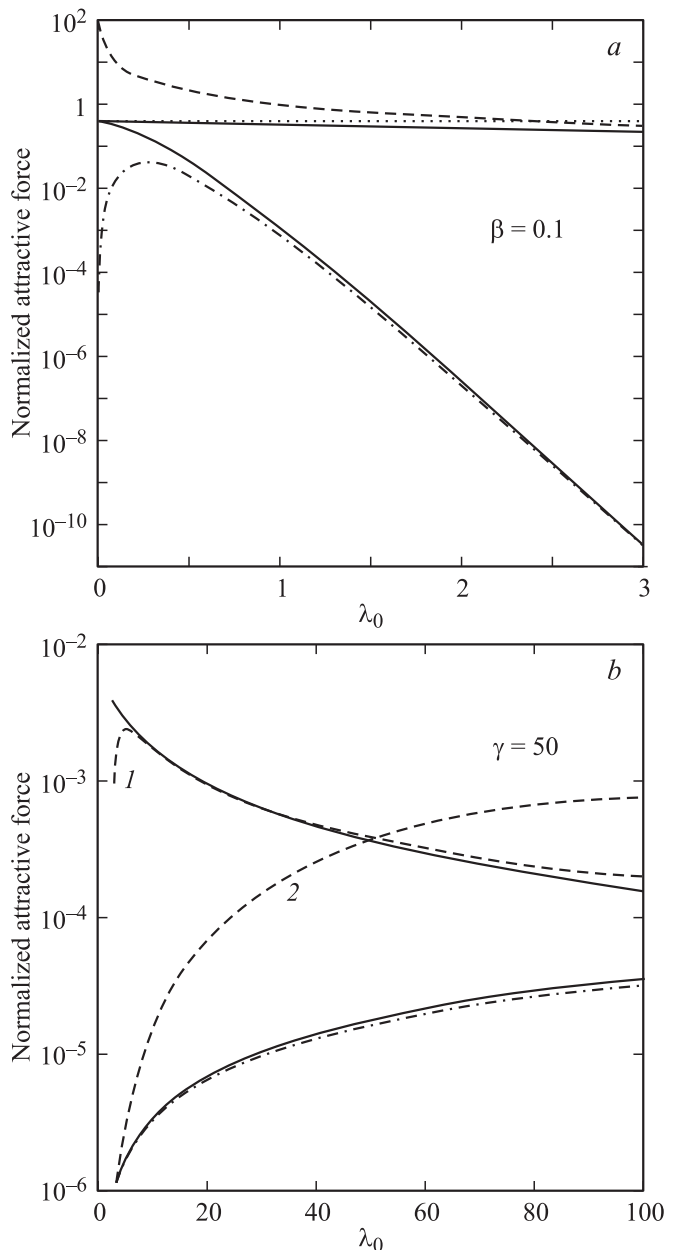
$$\Delta_m(u, x) = \frac{u - \sqrt{u^2 + \varepsilon(ix) - 1}}{u + \sqrt{u^2 + \varepsilon(ix) - 1}}. \quad (46)$$

Отметим, что, несмотря на комплексное представление, подынтегральная функция в (35) является чисто вещественной. Формула (15), в свою очередь рационализуется с помощью замены переменных  $x = 2z_0 k_x$ ,  $y = 2z_0 k_y$ :

$$F_z^{(1)} = -\frac{\hbar\omega_0\alpha(0)}{16\pi z_0^4} \int_{\lambda/\beta}^\infty dx \int_0^\infty dy \times \operatorname{Re} \left[ \exp \left( -\sqrt{x^2 + y^2 - (\lambda - \beta x)^2} \right) B(x, y, \beta, \lambda) \right], \quad (47)$$

$$B(x, y, \beta, \lambda) = \left[ 2(x^2 + y^2 - \beta^2 x^2)\Delta_e(x, y, \beta, \lambda) + 2\beta^2 y^2 \Delta_m(x, y, \beta, \lambda) \right] \left( 1 - \frac{(\lambda - \beta x)^2}{x^2 + y^2} \right) + \lambda^2 [\Delta_e(x, y, \beta, \lambda) + \Delta_m(x, y, \beta, \lambda)], \quad (48)$$

$$\Delta_e(x, y, \beta, \lambda) = \frac{\sqrt{x^2 + y^2 - (\lambda - \beta x)^2 \varepsilon(-\tilde{\omega}_0^-) - \sqrt{x^2 + y^2 - (\lambda - \beta x)^2 - \varepsilon(-\tilde{\omega}_0^-)}}{\sqrt{x^2 + y^2 - (\lambda - \beta x)^2 \varepsilon(-\tilde{\omega}_0^-) + \sqrt{x^2 + y^2 - (\lambda - \beta x)^2 - \varepsilon(-\tilde{\omega}_0^-)}}, \quad (49)$$



**Рис. 2.** Сравнение формул (27), (30) с асимптотическими выражениями из таблицы. Значения сил нормированы на величину фактора  $\hbar\omega_0\alpha(0)/z_0^4$ . а) Верхняя сплошная линия — формула (30), нижняя сплошная линия — формула (27), пунктирная линия — формула 1 таблицы, штриховая — формула 2, штрихпунктирная линия — 6; б) верхняя сплошная линия — формула (27), нижняя сплошная линия — формула (30), штриховая линия 1 — формула 3 таблицы, штриховая линия 2 — формула 10, штрихпунктирная линия — формула 4.

$$\Delta_m(x, y, \beta, \lambda) = \frac{\sqrt{x^2 + y^2 - (\lambda - \beta x)^2} - \sqrt{x^2 + y^2 - (\lambda - \beta x)^2 - \varepsilon(-\tilde{\omega}_0^-)}}{\sqrt{x^2 + y^2 - (\lambda - \beta x)^2} + \sqrt{x^2 + y^2 - (\lambda - \beta x)^2 - \varepsilon(-\tilde{\omega}_0^-)}}, \quad (50)$$

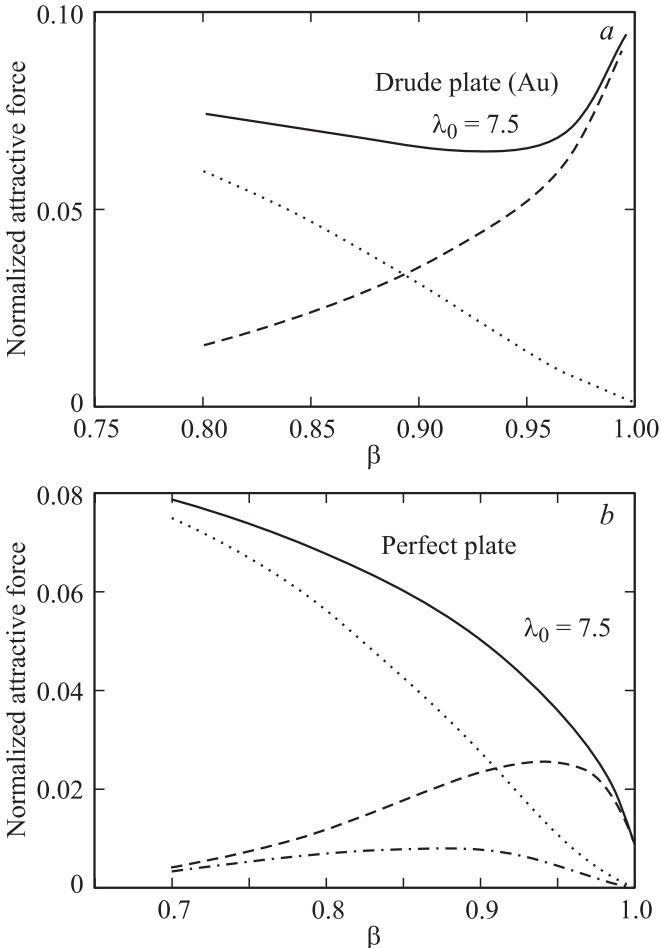
$$\tilde{\omega}_0^- = \tilde{\omega}_0(1 - \beta x/\lambda) = \frac{c}{2z_0} (\lambda - \beta x), \quad \beta = V/c. \quad (51)$$

Нетрудно видеть, что для идеально проводящей металлической пластины при  $\Delta_e = 1$ ,  $\Delta_m = -1$  формулы (35), (47) в точности сводятся к (24), (25). Отметим также, что использованная параметризация формул обеспечивает достаточно быструю сходимость двойных интегралов при выполнении численных расчетов, хотя и не является единственно возможной.

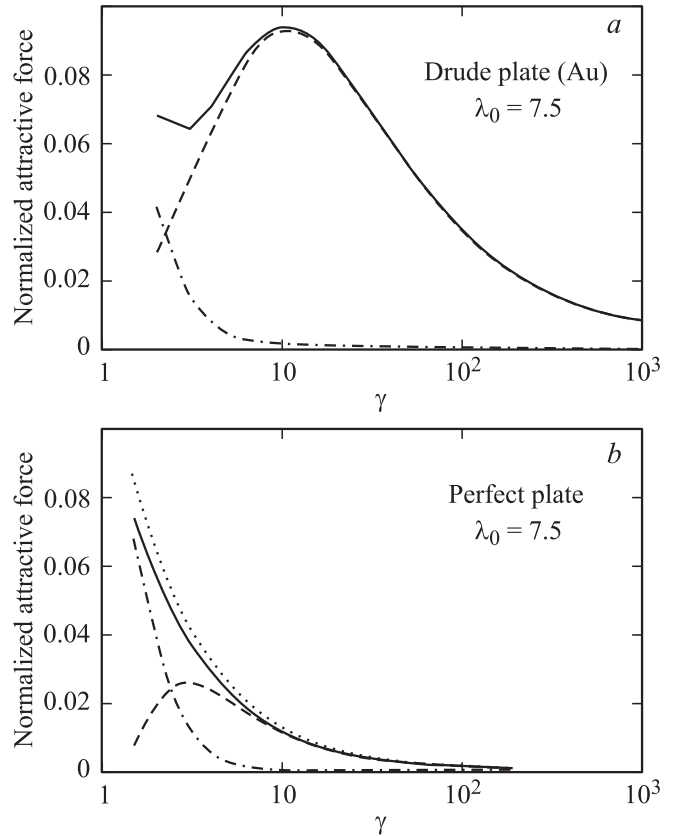
### 3. Результаты численных расчетов

Для иллюстрации результатов в качестве примера мы рассмотрели взаимодействие атомов цезия, находящихся в основном состоянии ( $\alpha(0) = 57 \cdot 10^{-30} m^3$ ,  $\omega_0 = 1.44 eV$  [12]), с пластиной золота, описываемой моделью Друде.

На рис. 3 и 4 показаны компоненты сил  $F_z^{(0)}$ ,  $F_z^{(1)}$  и их сумма, вычисленные в приближении Друде (а) и



**Рис. 3.** Зависимость динамической силы Казимира–Полдера от скорости для взаимодействия атома Cs с пластиной Au (а) и с идеально проводящей пластиной (b). Все значения сил даны в нормированном виде аналогично рис. 2 при  $\lambda_0 = 7.5$  ( $z_0 = 500 \text{ nm}$ ). Пунктирная, штриховая и сплошная линии соответствуют формулам (35), (47) и их сумме; штрихпунктирная линия на части b соответствует формуле 9 таблицы.



**Рис. 4.** Зависимость силы Казимира–Полдера от релятивистского фактора  $\gamma$  (атом Cs–пластина Au). Штрихпунктирные, штриховые и сплошные линии соответствуют формулам (35), (47) и их сумме; пунктирная линия на части b соответствует формуле 8 таблицы. a, b — то же, что на рис. 3.

в случае идеально проводящей пластины (b). Значения сил нормированы на величину фактора  $\hbar\omega_0\alpha(0)/z_0^4$  и взяты с противоположным знаком. Здесь представлены зависимости  $F_z^{(1)}$ ,  $F_z^{(0)}$  и суммарной величины  $F_z^{(0)} + F_z^{(1)}$ , вычисленных при  $\lambda_0 = 7.5$ , от  $\beta$  (рис. 3) и  $\gamma$  (рис. 4). Из этих рисунков можно сделать несколько интересных выводов: 1) появляются локальные минимум и максимум при  $\gamma = 5$  и  $10$  (в случае Друде); 2) компонента  $F_z^{(1)}$  вносит доминирующий вклад при  $\gamma > 5$  независимо от используемой аппроксимации  $\epsilon(\omega)$ ; 3) силы, вычисленные с учетом материальных параметров по модели Друде, примерно на порядок величины выше, чем в случае идеально проводящей пластины при  $\gamma > 10$ . Кроме того, в первом случае сила Казимира–Полдера имеет значительно более длинный „хвост“. В противовес этому компоненты  $F_z^{(0)}$  силы, вычисленные в обоих приближениях, оказываются весьма близкими (ср. пунктирные линии на рис. 3, a и b и штрихпунктирные линии на рис. 4, a и b). С уменьшением величины  $\lambda_0$  (т.е. с уменьшением расстояния) точки экстремумов сдвигаются в сторону меньших значений  $\beta$  (рис. 5, a,  $\lambda_0 = 0.75$ ), а затем в диапазоне скоростей  $0.2 < \beta < 0.8$  образуется протяженное

плато ( $\lambda_0 = 0.075$ , рис. 5, *b*) и сила почти не зависит от  $\beta$ . При  $\beta < 0.2$  (рис. 5, *b*) сила быстро возрастает и стремится к статическим значениям. Качественно те же особенности имели место при расчетах запаздывающего потенциала Ван-дер-Ваальса [10]. Таким образом, немонотонная зависимость силы Казимира–Полдера от скорости полностью связана с нелинейным характером вклада  $F_z^{(1)}$  и существенным влиянием материальных свойств пластины, обуславливающих сдвиг  $F_z$  в сторону больших значений  $\beta$ . Для идеально проводящей пластины второй фактор отсутствует, но тенденция к образованию максимума на зависимости  $F_z$  от  $\beta$  также имеет место (рис. 3, *b*). Качественно такая же зависимость описывается асимптотическими формулами 6, 7 и 9 таблицы.

Чтобы оценить различие между приближениями Друде и идеально проводящей пластины, на рис. 6 показаны зависимости  $F_z(z_0)$ , рассчитанные при различных значениях фактора  $\gamma$ . Штриховые линии соответствуют  $\gamma = 1$  (статическая сила Казимира–Полдера), штрихпунктирные —  $\gamma = 5$ , сплошные —  $\gamma = 50$ , пунктирные —  $\gamma = 500$ . Сопоставляя рис. 6, *a* и *b*, можно сделать вывод, что влияние материальных параметров значительно уменьшает различие между статическими и динамическими силами (вне зависимости от величины  $\gamma$ ). В результате в диапазоне расстояний  $20 < z_0 < 500$  nm

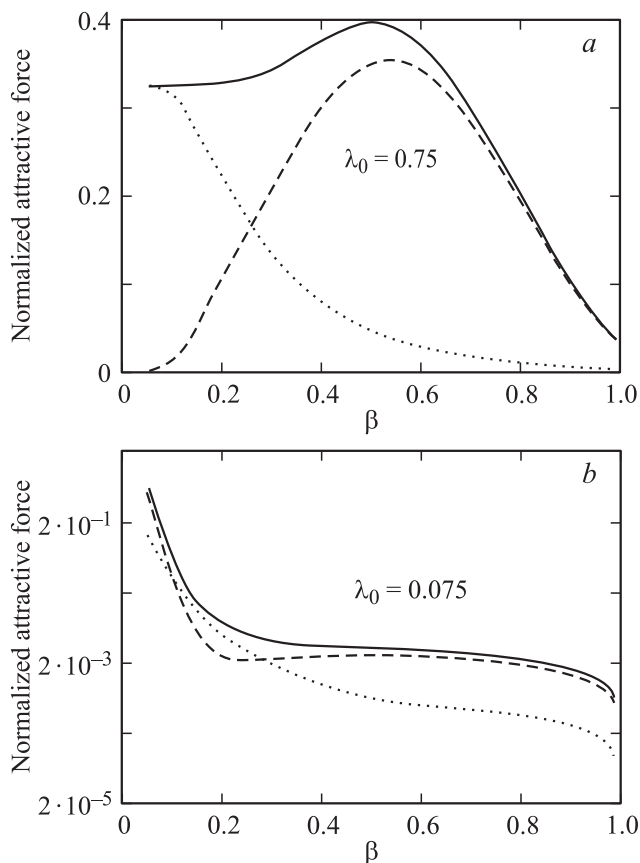


Рис. 5. То же, что на рис. 3, *a* при  $\lambda_0 = 0.75$  (*a*) и  $0.075$  (*b*).

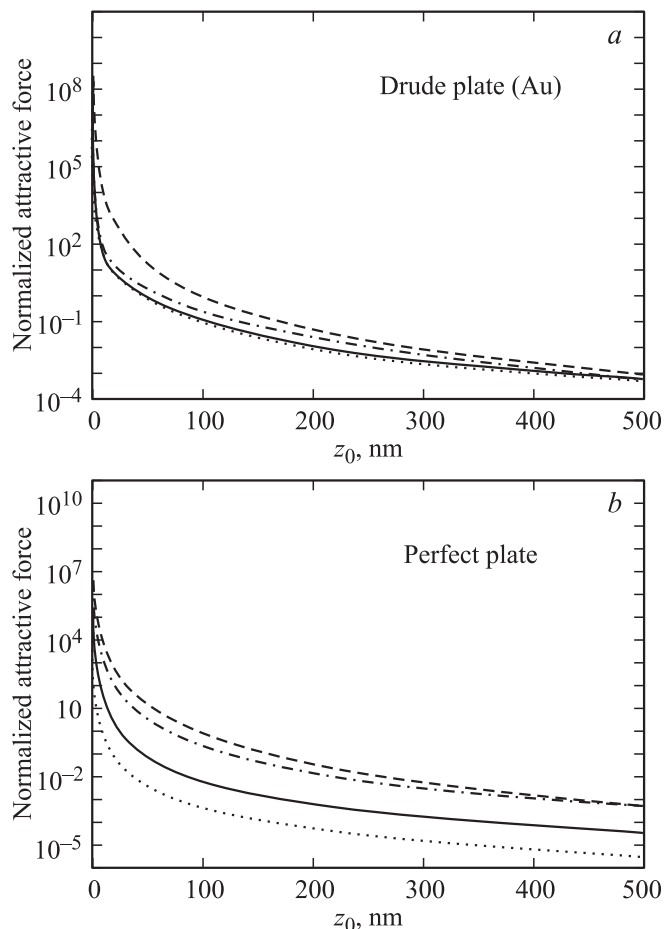


Рис. 6. Зависимость динамической силы Казимира–Полдера от расстояния для взаимодействия атома Cs с пластиной Au (*a*) и с идеально проводящей пластиной (*b*). Значения сил нормированы на величину фактора  $\hbar\omega_0^5\alpha(0)/c^4$ . Штриховые линии — статический случай,  $\gamma = 1$ , штрихпунктирные —  $\gamma = 5$ , сплошные —  $\gamma = 50$ , пунктирные —  $\gamma = 500$ .

динамические силы в случае модели Друде оказываются на один–три порядка величины больше, чем для идеально проводящей пластины.

#### 4. Заключение

Получены замкнутые выражения для динамической силы Казимира–Полдера, действующей на нейтральный атом, движущийся параллельно плоской поверхности толстой металлической пластины (стенки). Детально рассмотрены случаи идеально проводящей пластины и металлической пластины, описываемой моделью Друде. Показано, что релятивистские формулы согласуются с формулами, получаемыми в нерелятивистском приближении для скорости и без учета запаздывания.

Существенной особенностью проведенного анализа является сложная зависимость динамической силы Казимира–Полдера от скорости (энергии), расстояния и материальных свойств. В частности, зависимость от  $\beta$ ,



$\gamma$  является немонотонной и имеет максимум или широкое плато при увеличении относительной скорости  $\beta$ . В диапазоне расстояний от нескольких десятков до нескольких сотен нанометров динамические силы для металлической пластины в модели Друде оказываются на один-три порядка величины выше, чем для идеально проводящей пластины.

Полученные результаты помимо их фундаментального значения могут быть полезны при теоретической интерпретации экспериментов по прохождению субрелятивистских атомных пучков в узких щелях и при их отражении от поверхности. Экспериментально можно рассмотреть прохождение ускоренных ионов высокой энергии с малой степенью ионизации через газовую мишень или фольгу, электростатически удаляя из пучка ионы, не захватившие электрон, и затем наблюдать отражение (рассеяние) нейтрализованных атомов поверхностью.

## Список литературы

- [1] H.B.G. Casimir, D. Polder. *Phys. Rev.* **73**, 360 (1948).
- [2] Е.М. Лифшиц. *ЖЭТФ* **29**, 94 (1955).
- [3] Ю.С. Бараш. Силы Ван-дер-Ваальса. Наука. М. (1988). 344 с. М. Antezza, L.P. Pitaevskii, S. Stringari. *Phys. Rev. A* **70**, 053 619 (2004); G. Bimonte, G.L. Klimchitskaya, V.M. Mostepanenko. *Phys. Rev. A* **79**, 042 906 (2009).
- [4] K.A. Milton. *Am. J. Phys.* **79**, 697 (2011).
- [5] F. Intravaia, C. Henkel, M. Antezza. In: *Lecture notes on Casimir physics / Eds D.A.R. Dalvit, P. Milonni, D. Roberts, F. da Rosa. Springer-Verlag (2011). V. 834. P. 345.*
- [6] D.A.R. Dalvit, P.A. Maia Neto, F.D. Mazzitelli. In: *Lecture notes on Casimir physics / Eds D.A.R. Dalvit, P. Milonni, D. Roberts, F. da Rosa. Springer-Verlag (2011). V. 834. P. 419.*
- [7] T.L. Ferrell, R.H. Ritchie. *Phys. Rev. A* **21**, 1305 (1980).
- [8] A.M. Marvin, F. Toigo. *Phys. Rev. A* **25**, 782 (1982).
- [9] Г.В. Дедков, А.А. Кясов. [www.ArXiv:1112.5619v1](http://www.ArXiv:1112.5619v1).
- [10] G.V. Dedkov, A.A. Kysov. *Surf. Sci.* **605**, 1077 (2011).
- [11] Г.В. Дедков, А.А. Кясов. *ФТТ* **44**, 10, 1729 (2002); **51**, 1, 3(2009); **52**, 2, 382(2010); *J. Phys.: Cond. Matter* **20**, 35, 354 006 (2008); *Surf. Sci.* **604**, 561 (2010); *Наноструктуры. Математическая физика и моделирование* **1**, 2, 5(2009).
- [12] А.А. Радциг, Б.М. Смирнов. *Справочник по атомной и молекулярной физике. Атомиздат, М. (1980). 240 с.*